



Universidade Federal do ABC



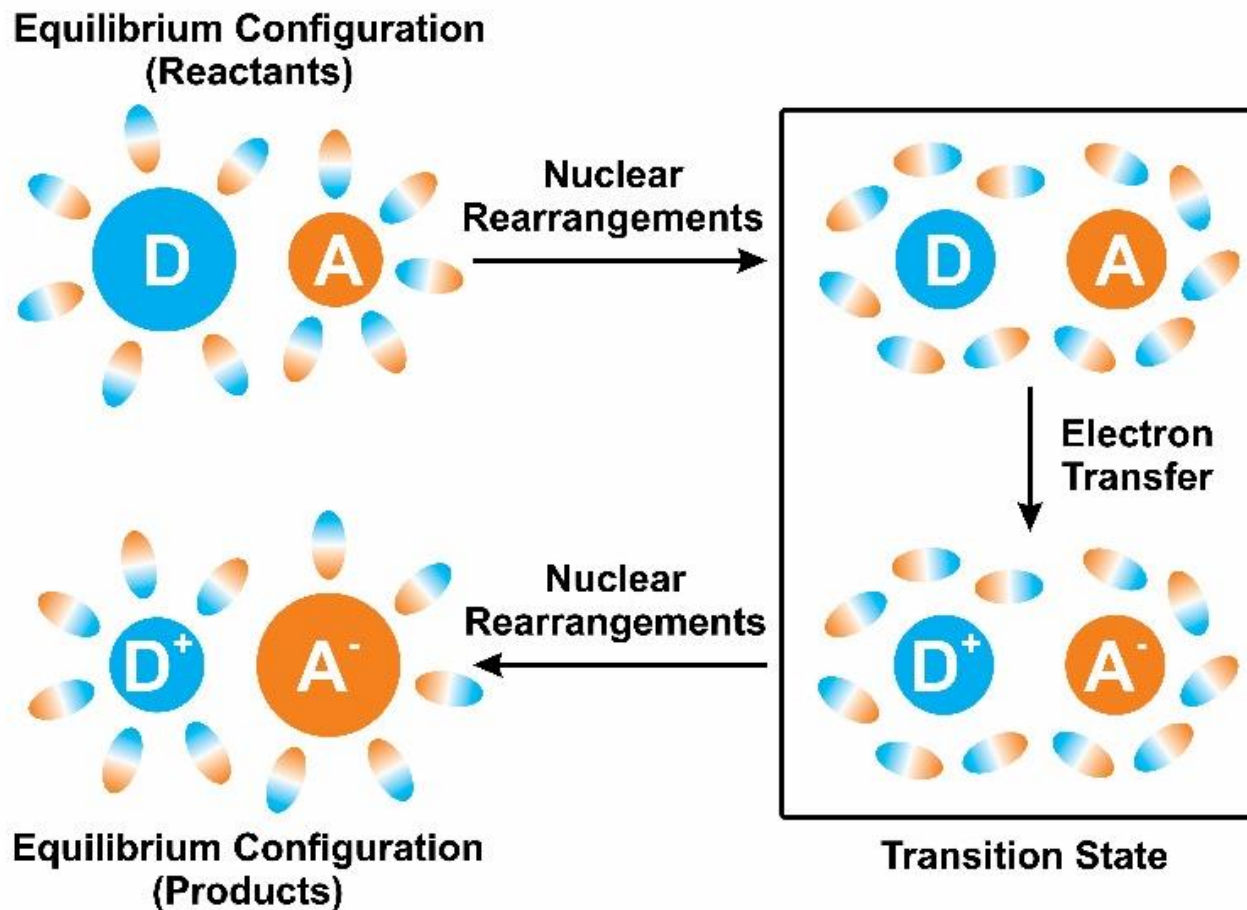
Cinética de transferência eletrônica

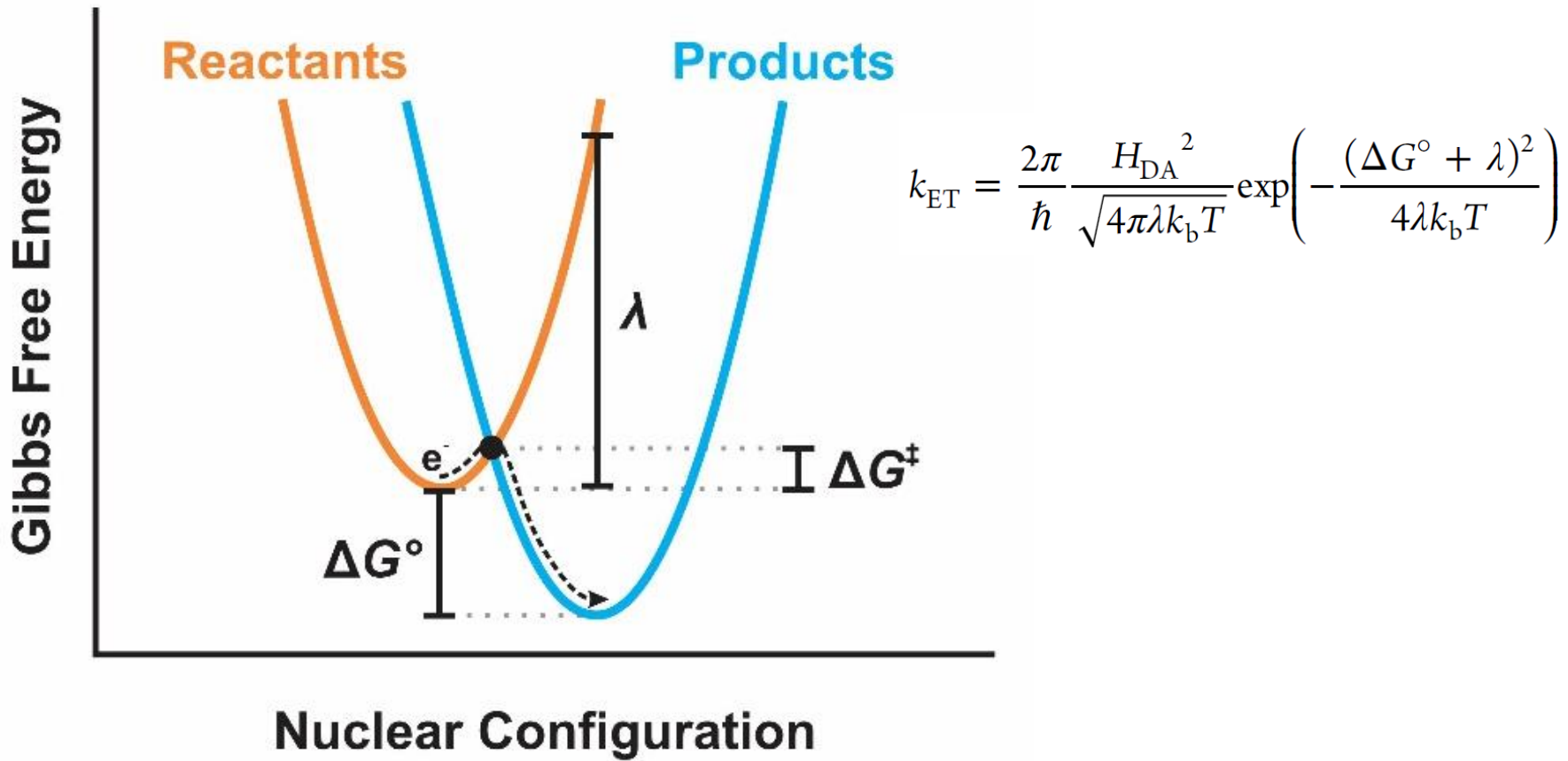
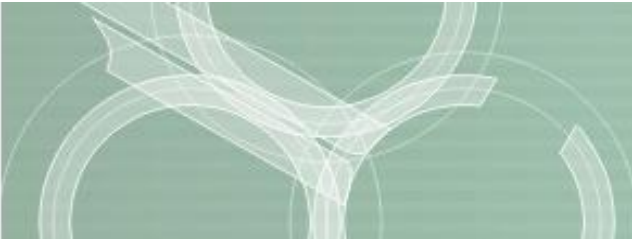


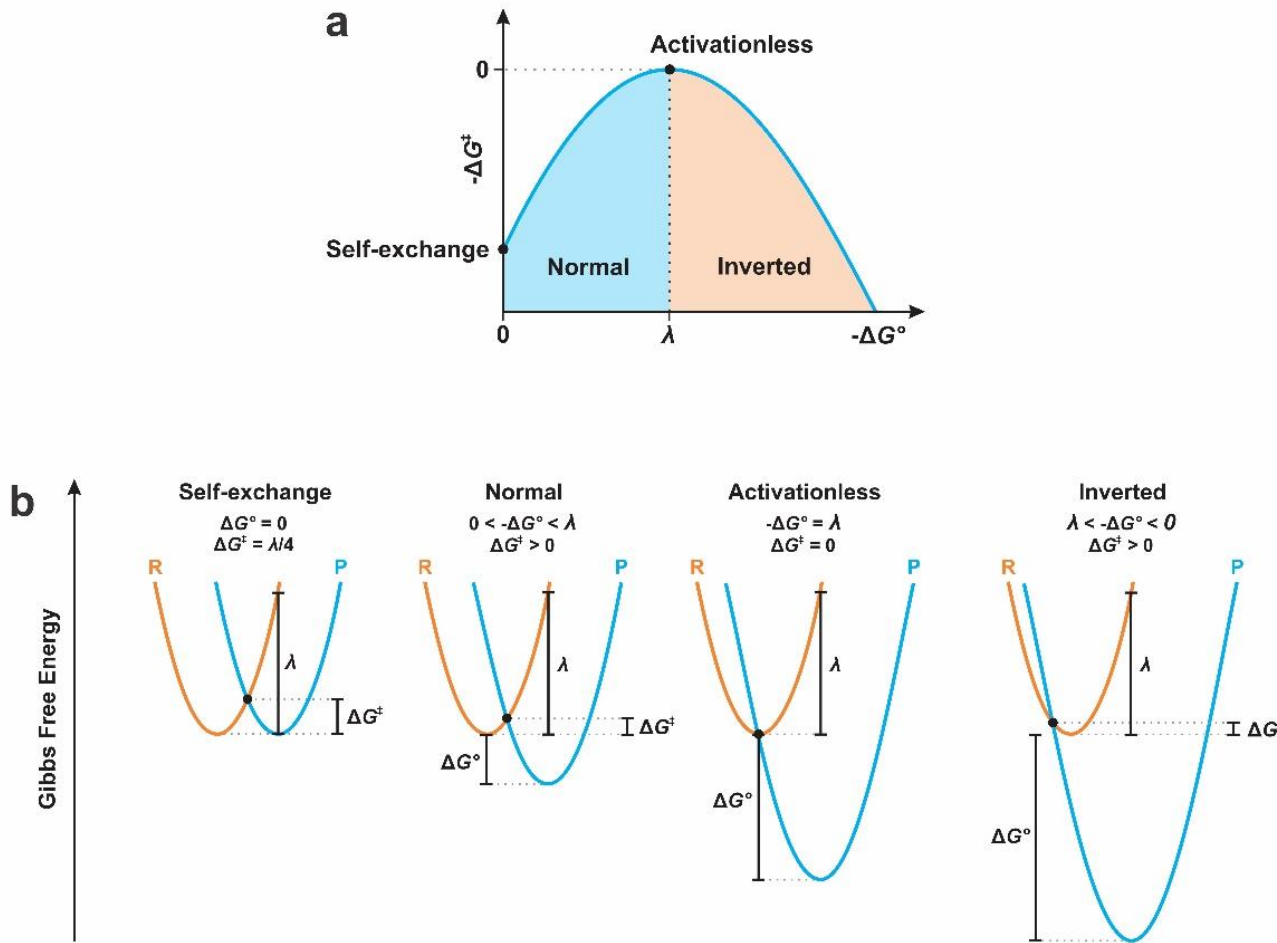
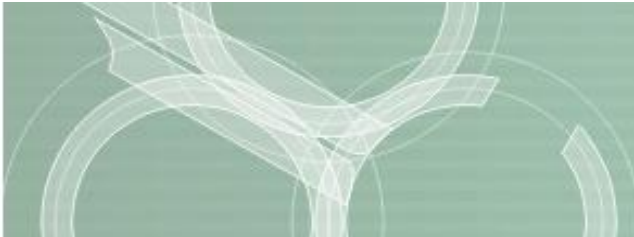
Mecanismo de esfera interna

Bridging ligand, X	$k / \text{dm}^3 \text{ mol}^{-1} \text{ s}^{-1}$
F^-	2.5×10^5
Cl^-	6.0×10^5
Br^-	1.4×10^6
I^-	3.0×10^6
$[\text{N}_3]^-$	3.0×10^5
$[\text{OH}]^-$	1.5×10^6
H_2O	0.1

Mecanismo de esfera externa - Modelo

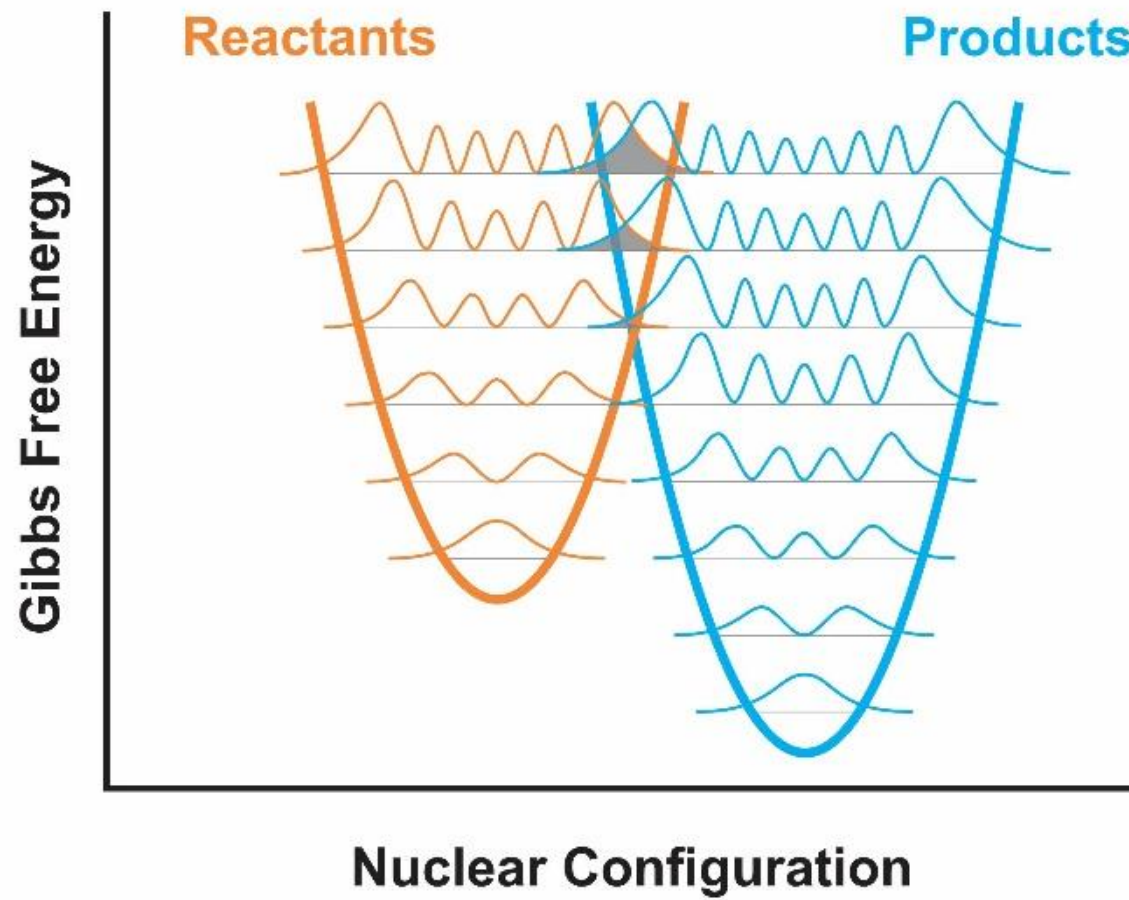








Universidade Federal do ABC





Algumas reações de auto-troca

Reação	$k / M^{-1}s^{-1}$
$[Os(bpy)_3]^{2+} + [Os(bpy)_3]^{3+} \rightarrow [Os(bpy)_3]^{3+} + [Os(bpy)_3]^{2+}$	$> 10^6$
$[Fe(bpy)_3]^{2+} + [Fe(bpy)_3]^{3+} \rightarrow [Fe(bpy)_3]^{3+} + [Fe(bpy)_3]^{2+}$	$> 10^6$
$[Fe(H_2O)_6]^{2+} + [Fe(H_2O)_6]^{3+} \rightarrow [Fe(H_2O)_6]^{3+} + [Fe(H_2O)_6]^{2+}$	3
$[Co(phen)_3]^{2+} + [Co(phen)_3]^{3+} \rightarrow [Co(phen)_3]^{3+} + [Co(phen)_3]^{2+}$	40
$[Co(en)_3]^{2+} + [Co(en)_3]^{3+} \rightarrow [Co(en)_3]^{3+} + [Co(en)_3]^{2+}$	10^{-4}
$[Co(NH_3)_6]^{2+} + [Co(NH_3)_6]^{3+} \rightarrow [Co(NH_3)_6]^{3+} + [Co(NH_3)_6]^{2+}$	10^{-6}
$[Ru(NH_3)_6]^{2+} + [Ru(NH_3)_6]^{3+} \rightarrow [Ru(NH_3)_6]^{3+} + [Ru(NH_3)_6]^{2+}$	$8,2 \times 10^2$

Conjugação do ligante

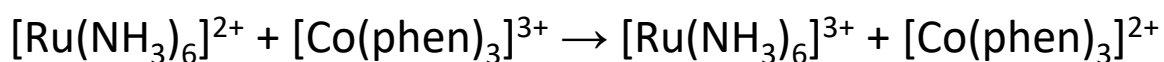
Pouca variação no comprimento de ligação

Configuração eletrônica
do metal



Verificando se é TE esfera externa

Reação	$k / M^{-1}s^{-1}$
$[Os(bpy)_3]^{2+} + [Os(bpy)_3]^{3+} \rightarrow [Os(bpy)_3]^{3+} + [Os(bpy)_3]^{2+}$	$> 10^6$
$[Fe(bpy)_3]^{2+} + [Fe(bpy)_3]^{3+} \rightarrow [Fe(bpy)_3]^{3+} + [Fe(bpy)_3]^{2+}$	$> 10^6$
$[Fe(H_2O)_6]^{2+} + [Fe(H_2O)_6]^{3+} \rightarrow [Fe(H_2O)_6]^{3+} + [Fe(H_2O)_6]^{2+}$	3
$[Co(phen)_3]^{2+} + [Co(phen)_3]^{3+} \rightarrow [Co(phen)_3]^{3+} + [Co(phen)_3]^{2+}$	40
$[Co(en)_3]^{2+} + [Co(en)_3]^{3+} \rightarrow [Co(en)_3]^{3+} + [Co(en)_3]^{2+}$	10^{-4}
$[Co(NH_3)_6]^{2+} + [Co(NH_3)_6]^{3+} \rightarrow [Co(NH_3)_6]^{3+} + [Co(NH_3)_6]^{2+}$	10^{-6}
$[Ru(NH_3)_6]^{2+} + [Ru(NH_3)_6]^{3+} \rightarrow [Ru(NH_3)_6]^{3+} + [Ru(NH_3)_6]^{2+}$	$8,2 \times 10^2$



$$k_{12} = (k_{11}k_{22}K_{eq}f)^{1/2}$$

$$K_{eq} = 2,6 \times 10^5$$

Calculado

$$k_{12} = 1 \times 10^4 \text{ M}^{-1}\text{s}^{-1}$$

Experimental

$$k_{12} = 1,5 \times 10^4 \text{ M}^{-1}\text{s}^{-1}$$

$$\ln(f_{12}) = \frac{\ln(K_{eq})^2}{4\ln\left(\frac{k_{11}k_{22}}{Z^2}\right)}$$

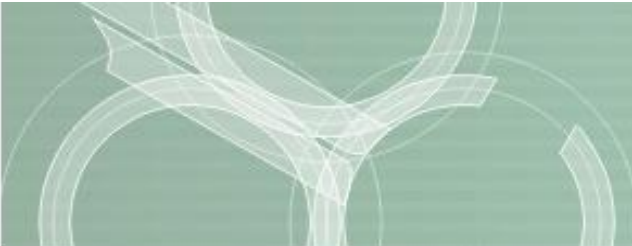


Table 13.8

Calculated and observed
rate constants for outer
sphere cross reactions^a

Reaction	$\log K_{12}$	$k_{12\text{obsd}}$ (M ⁻¹ s ⁻¹)	$k_{12\text{calcd}}$ (M ⁻¹ s ⁻¹)
Ru(NH ₃) ₆ ²⁺ + Ru(NH ₃) ₅ py ³⁺	4.40	1.4 × 10 ⁶	4 × 10 ⁶
Ru(NH ₃) ₅ py ²⁺ + Ru(NH ₃) ₄ (bpy) ³⁺	3.39	1.1 × 10 ⁸	4 × 10 ⁷
Ru(NH ₃) ₆ ²⁺ + Co(phen) ₃ ³⁺	5.42	1.5 × 10 ⁴	1 × 10 ⁵
Ru(NH ₃) ₅ py ²⁺ + Co(phen) ₃ ³⁺	1.01	2.0 × 10 ³	1 × 10 ⁴
V _{aq} ²⁺ + Co(en) ₃ ³⁺	0.25	5.8 × 10 ⁻⁴	7 × 10 ⁻⁴
V _{aq} ²⁺ + Ru(NH ₃) ₆ ²⁺	5.19	1.3 × 10 ³	1 × 10 ³
V _{aq} ²⁺ + Fe _{aq} ³⁺	16.90	1.8 × 10 ⁴	2 × 10 ⁶
Fe _{aq} ²⁺ + Os(bpy) ₃ ³⁺	1.53	1.4 × 10 ³	5 × 10 ²
Fe _{aq} ²⁺ + Fe(bpy) ₃ ³⁺	3.90	2.7 × 10 ⁴	6 × 10 ⁶
Ru(NH ₃) ₆ ²⁺ + Fe _{aq} ³⁺	11.23	3.4 × 10 ⁵	2 × 10 ⁶
Ru(en) ₃ ²⁺ + Fe _{aq} ³⁺	9.40	8.4 × 10 ⁴	4 × 10 ⁵
Mo(CN) ₈ ⁴⁻ + IrCl ₆ ²⁻	2.18	1.9 × 10 ⁶	8 × 10 ⁵
Mo(CN) ₈ ⁴⁻ + MnO ₄ ⁻	-4.07	2.7 × 10 ²	6 × 10 ¹
Mo(CN) ₈ ⁴⁻ + HMnO ₄	8.48	1.9 × 10 ⁷	2 × 10 ⁷
Fe(CN) ₆ ⁴⁻ + IrCl ₆ ²⁻	4.08	3.8 × 10 ⁵	1 × 10 ⁶
Fe(CN) ₆ ⁴⁻ + Mo(CN) ₈ ³⁻	2.00	3.0 × 10 ⁴	4 × 10 ⁴
Fe(CN) ₆ ⁴⁻ + MnO ₄ ⁻	3.40	1.7 × 10 ⁵	6 × 10 ⁴

^a Marcus, R. A.; Sutin, N. *Biochim. Biophys. Acta* 1985, 811, 265.



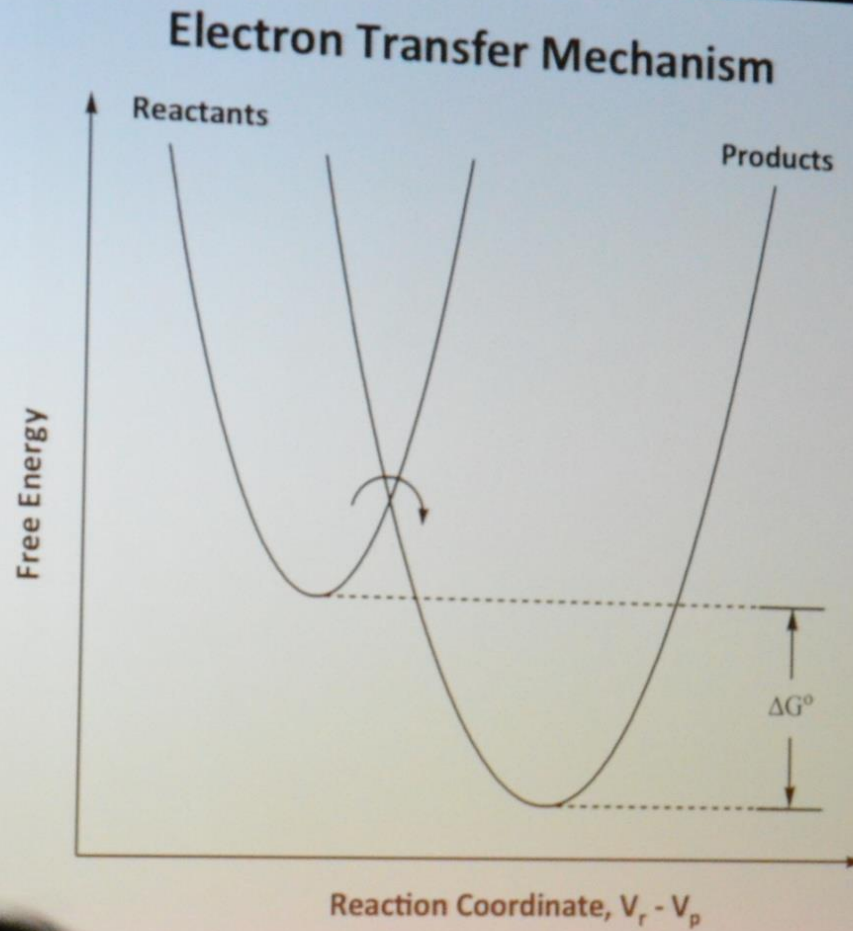
Universidade Federal do ABC

Considerações sobre a teoria de Marcus

1. Alta confiança na teoria
 - Caso $k_{12\text{ calcd}} \neq k_{12\text{exptal}}$ verificar se outro mecanismo não está ocorrendo.
2. Teoria de Marcus conecta a cinética e a termodinâmica
 - k_{12} aumenta diretamente com K_{12}
3. Este é apenas um pedaço da teoria



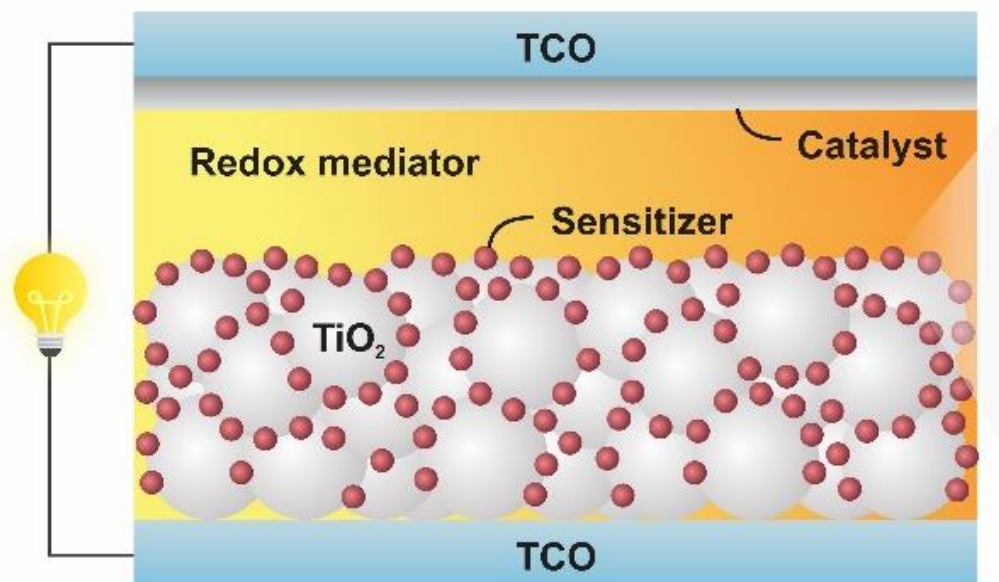
R. Marcus
Nobel (1992)



Caltech 30/07/2012

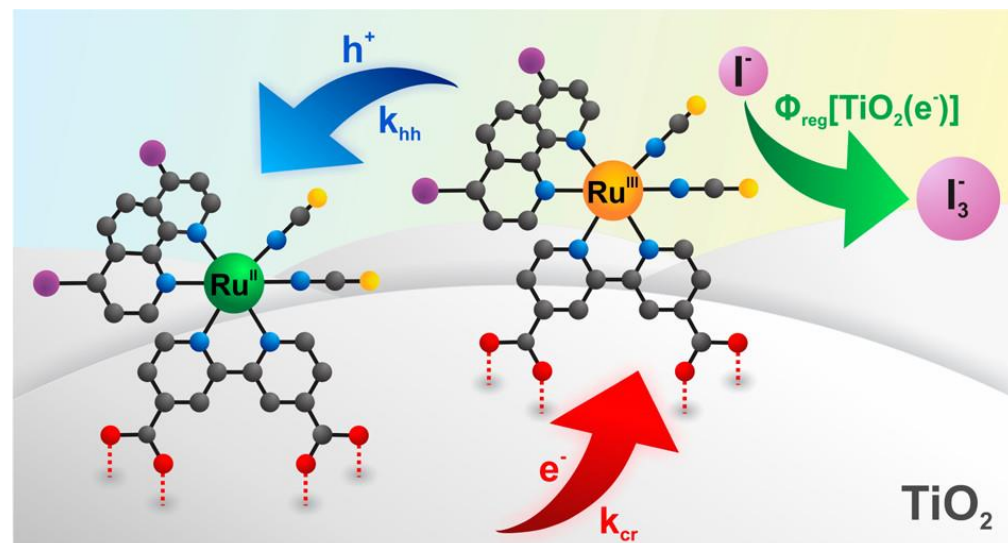
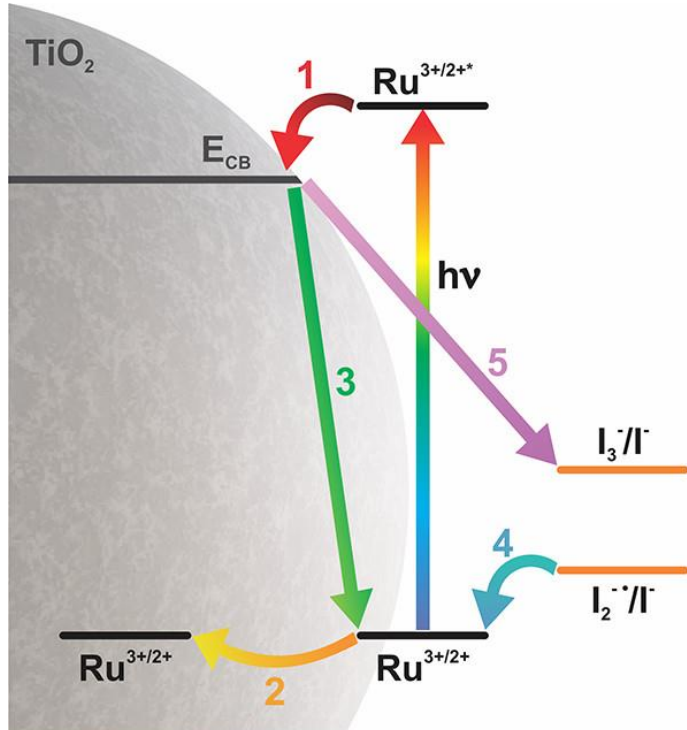


Universidade Federal do ABC



Estudo de caso

Müller, A. V.; de Oliveira, K. T.; Meyer, G. J.; Polo, A. S., Inhibiting Charge Recombination in *cis*-Ru(NCS)₂ Diimine Sensitizers with Aromatic Substituents. *ACS Appl. Mater. Interfaces* 2019, 11 (46), 43223-43234.

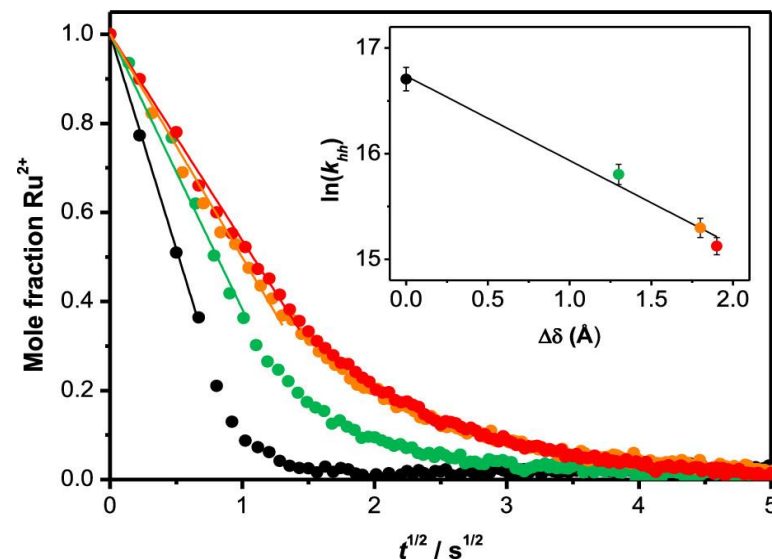
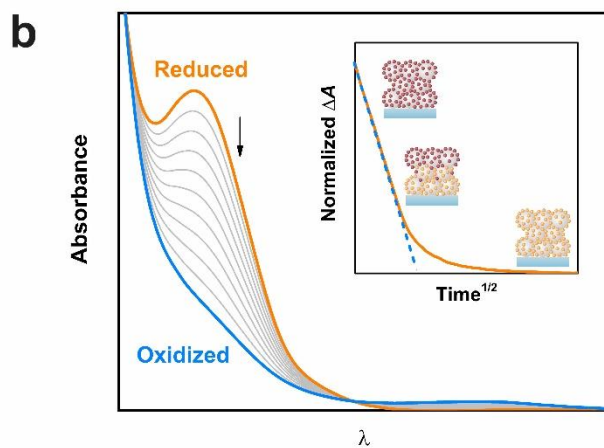
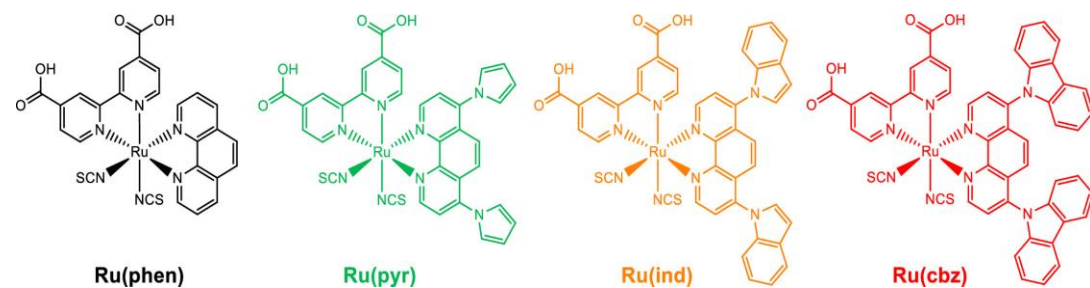
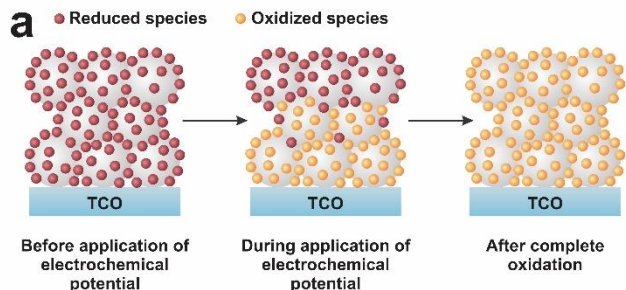


ACS Appl. Mater. Interfaces 2017, 9, 39, 33446-33454

1. Injection
2. Hole-Hopping
3. Back-Electron Transfer
4. Regeneration
5. Recombination: $\text{TiO}_2(e^-)$ to I_{ox}

Estudo de caso

Müller, A. V.; de Oliveira, K. T.; Meyer, G. J.; Polo, A. S., Inhibiting Charge Recombination in *cis*-Ru(NCS)₂ Diimine Sensitizers with Aromatic Substituents. *ACS Appl. Mater. Interfaces* 2019, 11 (46), 43223–43234.





Universidade Federal do ABC

Estudo de caso

Müller, A. V.; de Oliveira, K. T.; Meyer, G. J.; Polo, A. S., Inhibiting Charge Recombination in *cis*-Ru(NCS)₂ Diimine Sensitizers with Aromatic Substituents. *ACS Appl. Mater. Interfaces* 2019, 11 (46), 43223-43234.

compound	$D_{app}/10^{-8} \text{ cm}^2 \text{ s}^{-1}$	$k_{hh}/10^6 \text{ s}^{-1}$	H_{DA}/meV	$\eta/\%$
Ru(phen)	5.1 ± 0.5	14 ± 2	3.8	5.4 ± 0.4
Ru(pyr)	2.5 ± 0.2	5.7 ± 0.7	2.4	3.5 ± 0.3
Ru(ind)	2.1 ± 0.2	4.4 ± 0.4	2.1	4.2 ± 0.4
Ru(cbz)	1.7 ± 0.1	3.7 ± 0.3	1.9	6.1 ± 0.2